



Construction Métallique

12- Vérification de la tenue au déversement



ISA BTP
ÉCOLE D'INGÉNIEURS

Philippe MARON

Maître de conférences

ISABTP-UPPA

01 septembre 2020

- **A l'issue de ce chapitre, l'étudiant doit être capable à partir du dossier d'un nouveau bâtiment du même type et d'une sollicitation de vent et/ou de neige donnée :**
 - d'expliquer le phénomène de déversement
 - d'identifier les éléments susceptibles de subir une instabilité de déversement
 - de contrôler le dimensionnement des éléments susceptibles de subir une instabilité de déversement à l'État Limite Ultime (ELU)

- **Qu'est ce que le déversement ?**

- Lorsqu'un élément est sollicité en flexion, sa déformation (ici supposée vers le bas) est telle que les fibres supérieures de la section sont en compression, tandis que les fibres inférieures sont en traction.
- Le phénomène de déversement correspond au flambement des fibres supérieures en compression.
- Ce flambement a lieu dans un plan perpendiculaire au plan de flexion, entraînant ainsi une rotation des sections, (et donc une torsion de l'élément)

- **Introduction ...**

- Grandes déformations => zones comprimées
- => 3 formes de grandes déformations nommées instabilités :
 - ♦ **flambement,**

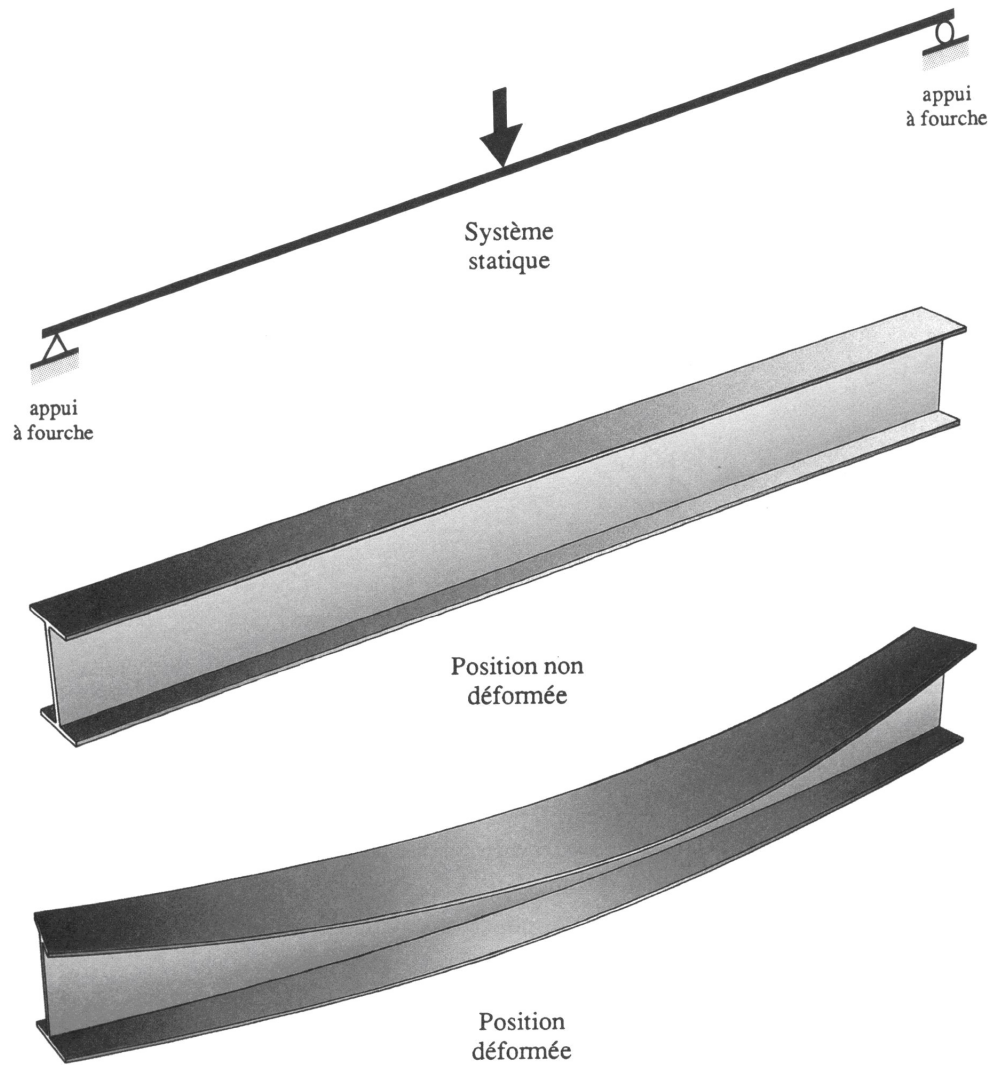


Cette barre a flambé

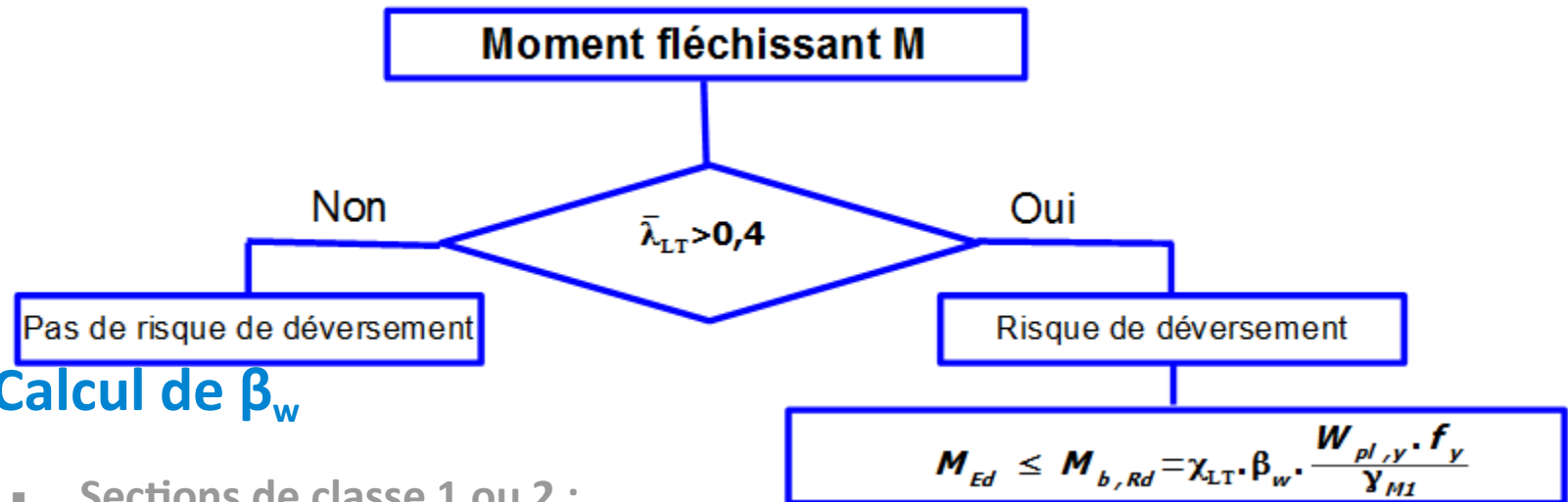
- **Introduction ...**

- Grandes déformations => zones comprimées
- => 3 formes de grandes déformations nommées instabilités :
 - ♦ flambement,
 - ♦ déversement





- Vérification au déversement à l'EC3 : Flexion simple



- Calcul de β_w

- Sections de classe 1 ou 2 :

$$\beta_w = 1$$

- Sections de classe 3 :

$$\beta_w = \frac{W_{el,y}}{W_{pl,y}}$$

- Section de classe 4 :

$$\beta_w = \frac{W_{eff,y}}{W_{pl,y}}$$

• Calcul du coefficient de réduction χ_{LT} :

- Calcul de l'élancement réduit $\bar{\lambda}_{LT}$

$$\bar{\lambda}_{LT} = \frac{\lambda_{LT}}{\lambda_1} \cdot \sqrt{\beta_w}$$

avec

$$\lambda_1 = \pi \cdot \sqrt{\frac{E}{f_y}} = 93,91 \cdot \varepsilon$$

$$\text{et (MPa)} \quad \varepsilon = \sqrt{\frac{235}{f_y}}$$

OU :

$$\bar{\lambda}_{LT} = \sqrt{\frac{\beta_w \cdot W_{pl,y} \cdot f_y}{M_{cr}}}$$

- Calcul de Φ_{LT}

$$\Phi_{LT} = 0,5 \cdot \left[1 + \alpha \cdot (\bar{\lambda}_{LT} - 0,2) + \bar{\lambda}_{LT}^2 \right]$$

- Calcul du coefficient de réduction χ_{LT}

$$\chi_{LT} = \frac{1}{\Phi_{LT} + \sqrt{\Phi_{LT}^2 - \bar{\lambda}_{LT}^2}} \quad \text{et} \quad \chi_{LT} < 1$$

Choix des courbes de flambement :

- Profilés laminés en I :
 - . $h/b \leq 2 \Rightarrow$ courbe a
 - . $h/b > 2 \Rightarrow$ courbe b
- Profilés reconstitués soudés en I :
 - . $h/b \leq 2 \Rightarrow$ courbe c
 - . $h/b > 2 \Rightarrow$ courbe d
- Autres sections : courbe d

λ_{LT} et M_{cr} sont définis dans les diapos suivantes

- Expression de l'élançement au déversement

$$\lambda_{LT} = \frac{L}{i_z} \sqrt{C_1 \left[1 + \frac{1}{20} \cdot \left(\frac{L}{i_z} \cdot \frac{h}{t_f} \right)^2 \right]}$$

Le calcul du coefficient C1 est donné dans les diapos suivantes

• Calcul du moment critique de déversement M_{cr}

- Poutres de section constante et doublement symétriques :

$$M_{cr} = C_1 \cdot \frac{\pi^2 \cdot E \cdot I_z}{(k \cdot L)^2} \cdot \sqrt{\left(\frac{k}{k_w} \right)^2 \cdot \frac{I_w}{I_z} + \frac{(k \cdot L)^2 \cdot G \cdot I_t}{\pi^2 \cdot E \cdot I_z} + (C_2 \cdot z_g)^2} - C_2 \cdot z_g$$

- k : coefficient concernant la rotation de l'extrémité en

- $k=0,5$ pour des encastrement parfait
- $k=0,7$ pour une extrémité encastree et l'autre en appui
- $k=1,0$ pour des appuis simples

- k_w : coefficient concernant le gauchissement d'extrémité

- Sauf mesures spécifiques, $k_w=1$

- I_T : Module d'inertie en torsion

- I_w : Module d'inertie de gauchissement

- I_z : Module d'inertie de flexion autour de l'axe faible

- G : Module de cisaillement

- $z_g = z_a - z_s$ avec

- z_a : Coordonnée du point d'application de la charge
- z_s : Coordonnée du centre de cisaillement

- L : Longueur de la poutre entre points de maintien latéraux

Schémas des appuis	Conditions aux limites	k_v et k_ϕ	Remarques
	$w = w_0$ $v = 0$ $\phi = 0$ $w'' = 0$ $v'' = 0$ $\phi'' = 0$	$k_v = 1.0$ $k_\phi = 1.0$	Raidisseurs ou appuis latéraux au niveau de la membrure comprimée nécessaires afin d'empêcher la rotation de la poutre aux appuis. w_0 : déplacement vertical de l'appui.
	$w = 0$ $v = 0$ $\phi = 0$ $w'' = 0$ $v'' = 0$ $\phi'' = 0$	$k_v = 1.0$ $k_\phi = 1.0$	Liaison articulée dans laquelle les cornières doivent être suffisantes pour empêcher la rotation de la poutre aux appuis.
	$w = 0$ $v = 0$ $\phi = 0$ $w'' = 0$ $v'' = 0$ $\phi'' = 0$	$k_v = 1.0$ $k_\phi = 1.0$	Liaison semi-rigide peu résistante en flexion et avec gauchissement non empêché des ailes. On néglige la rigidité à la torsion du poteau.
	$w = 0$ $v = 0$ $\phi = 0$ $w' = \phi_0$ $v'' = 0$ $\phi'' = 0$	$k_v = 1.0$ $k_\phi < 1.0$	Liaison semi-rigide résistante en flexion et avec gauchissement empêché des ailes ($k_\phi < 1.0$). On néglige la rigidité à la torsion du poteau. ϕ_0 : inclinaison du poteau.
	$w = 0$ $v = 0$ $\phi = 0$ $w' = \phi_0$ $v'' = 0$ $\phi'' = 0$	$k_v = 1.0$ $k_\phi = 0.5$	Encastrement parfait de la poutre à la torsion, gauchissement empêché par les raidisseurs. On néglige la rigidité à la torsion du poteau. ϕ_0 : inclinaison du poteau.
	$w = 0$ $v = 0$ $\phi = 0$ $w' = 0$ $v'' = 0$ $\phi'' = 0$	$k_v = 0.5$ $k_\phi = 0.5$	Encastrement parfait de la poutre à la flexion et à la torsion, gauchissement empêché par l'appui que l'on considère comme étant rigide à la torsion.

• Calcul du moment critique de déversement M_{cr} ...

▪ Coefficients C_1 et C_2

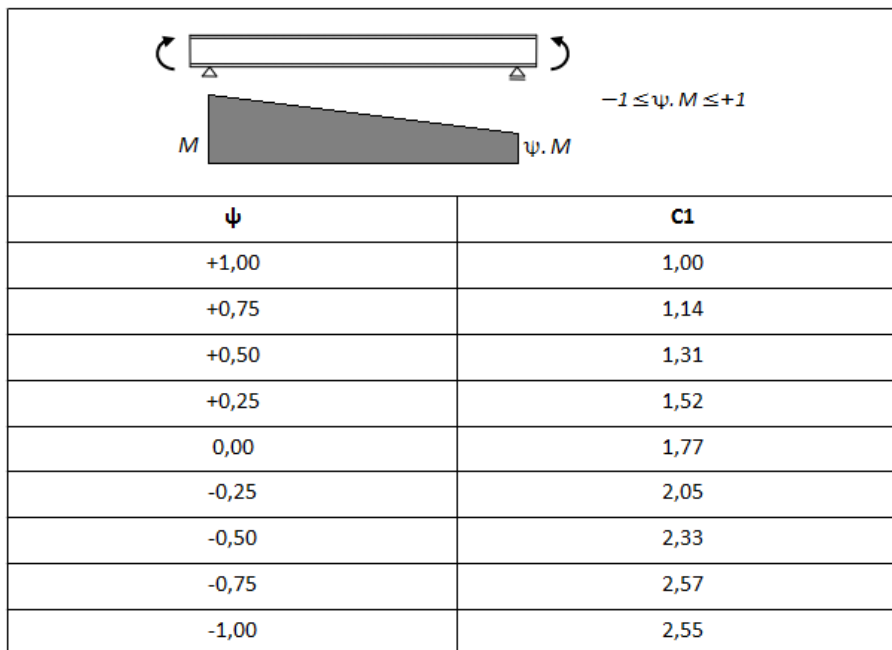
- Barres soumises à des moments d'extrémités :

avec $k_2=k_w=1$

✓ C_1 calculé par :

$$C_1 = \frac{1}{\sqrt{0,325 + 0,423 \cdot \psi + 0,252 \cdot \psi^2}}$$

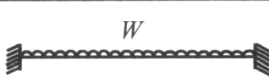
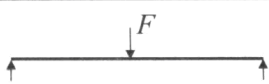
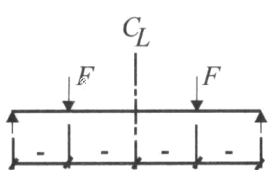
✓ $C_2 = 0$



• Calcul du moment critique de déversement M_{cr} ...

▪ Coefficients C_1 et C_2 ...

♦ Barres soumises à une charge transversale :

Chargement et conditions d'appuis	Diagramme de moment de flexion	Valeur de k	Coefficients		
			C_1	C_2	C_3
		1,0	1,132	0,459	0,525
		0,5	0,972	0,304	0,980
		1,0	2,57	1,562	0,753
		0,5	0,712	0,652	1,070
		1,0	1,365	0,553	1,730
		0,5	1,070	0,432	3,050
		1,0	1,565	1,267	2,640
		0,5	0,938	0,715	4,800
		1,0	1,046	0,430	1,120
		0,5	1,010	0,410	1,890

• Calcul du moment critique de déversement M_{cr} ...

▪ Coefficients C_1 et C_2 ...

- Barres soumises à une charge transversale et à des moments d'extrémités:

=> Lecture dans des tableaux

- ✓ La distribution des moments est définie au moyen des deux paramètres :

- ψ : Rapport des moments d'extrémités
- μ : Rapport du moment « isostatique » (barres supposées sur appuis simples) dû à la charge q ou F et au moment d'extrémité maximal M

- ✓ $\mu > 0$, si q et M fléchissent la poutre dans le même sens

- ✓ Charge répartie q :

$$\mu = \frac{q \cdot L^2}{8 \cdot M}$$

- ✓ Charge ponctuelle F :

$$\mu = \frac{F \cdot L}{4 \cdot M}$$

C_1	ψ																				
	-1	-0,9	-0,8	-0,7	-0,6	-0,5	-0,4	-0,3	-0,2	-0,1	0	0,1	0,2	0,3	0,4	0,5	0,6	0,7	0,8	0,9	1
0	2,554	2,627	2,606	2,534	2,438	2,331	2,219	2,104	1,990	1,878	1,770	1,667	1,569	1,477	1,391	1,312	1,238	1,171	1,109	1,052	1,000
0,1	2,450	2,411	2,337	2,246	2,148	2,046	1,943	1,842	1,744	1,648	1,558	1,472	1,391	1,315	1,245	1,179	1,119	1,070	1,037	1,018	1,012
0,2	2,233	2,160	2,076	1,986	1,894	1,802	1,712	1,625	1,541	1,461	1,385	1,314	1,246	1,187	1,139	1,101	1,071	1,049	1,034	1,025	1,022
0,3	2,003	1,925	1,843	1,760	1,678	1,598	1,521	1,446	1,375	1,310	1,254	1,206	1,165	1,131	1,102	1,080	1,062	1,048	1,039	1,033	1,030
0,4	1,790	1,717	1,642	1,569	1,497	1,430	1,370	1,316	1,269	1,227	1,190	1,159	1,131	1,108	1,089	1,073	1,061	1,051	1,044	1,039	1,037
0,5	1,604	1,539	1,479	1,423	1,373	1,326	1,284	1,247	1,213	1,184	1,157	1,135	1,115	1,098	1,084	1,072	1,063	1,055	1,049	1,046	1,043
0,6	1,468	1,421	1,377	1,336	1,299	1,265	1,234	1,206	1,181	1,159	1,139	1,122	1,106	1,093	1,082	1,073	1,065	1,059	1,054	1,051	1,049
0,7	1,382	1,346	1,313	1,282	1,253	1,227	1,203	1,181	1,161	1,144	1,128	1,114	1,102	1,091	1,082	1,074	1,068	1,063	1,059	1,056	1,054
0,8	1,324	1,296	1,270	1,245	1,222	1,201	1,182	1,164	1,148	1,134	1,121	1,110	1,100	1,090	1,083	1,076	1,071	1,066	1,062	1,060	1,058
0,9	1,284	1,261	1,239	1,219	1,201	1,183	1,167	1,153	1,140	1,128	1,117	1,107	1,098	1,091	1,084	1,078	1,073	1,069	1,066	1,063	1,061
1	1,254	1,236	1,217	1,201	1,185	1,170	1,157	1,145	1,133	1,123	1,114	1,105	1,098	1,091	1,085	1,080	1,076	1,072	1,069	1,067	1,065
1,1	1,233	1,217	1,201	1,187	1,174	1,161	1,150	1,139	1,129	1,120	1,112	1,105	1,098	1,092	1,087	1,082	1,078	1,075	1,072	1,070	1,068
1,2	1,216	1,202	1,189	1,176	1,165	1,154	1,144	1,135	1,126	1,118	1,111	1,104	1,098	1,093	1,088	1,084	1,081	1,077	1,075	1,072	1,071
1,3	1,203	1,191	1,179	1,168	1,158	1,148	1,139	1,131	1,124	1,117	1,110	1,104	1,099	1,094	1,090	1,086	1,083	1,079	1,077	1,075	1,073
1,4	1,193	1,181	1,172	1,162	1,153	1,144	1,136	1,129	1,122	1,116	1,110	1,104	1,099	1,095	1,091	1,087	1,084	1,081	1,079	1,077	1,075
1,5	1,184	1,175	1,165	1,157	1,148	1,141	1,134	1,127	1,121	1,115	1,110	1,105	1,100	1,096	1,092	1,089	1,086	1,083	1,081	1,079	1,078
1,6	1,177	1,168	1,160	1,152	1,145	1,138	1,131	1,125	1,120	1,114	1,110	1,105	1,101	1,097	1,094	1,091	1,088	1,085	1,083	1,081	1,080
1,7	1,171	1,164	1,156	1,149	1,142	1,135	1,130	1,124	1,119	1,114	1,109	1,105	1,102	1,098	1,095	1,092	1,089	1,087	1,085	1,083	1,081
1,8	1,167	1,159	1,153	1,146	1,140	1,134	1,128	1,123	1,118	1,114	1,109	1,106	1,102	1,099	1,096	1,093	1,090	1,088	1,086	1,084	1,083
2	1,159	1,153	1,147	1,141	1,136	1,131	1,126	1,122	1,118	1,114	1,110	1,107	1,103	1,101	1,098	1,095	1,093	1,091	1,089	1,087	1,086
2,2	1,153	1,148	1,143	1,138	1,133	1,129	1,125	1,121	1,117	1,114	1,111	1,107	1,105	1,102	1,100	1,097	1,095	1,093	1,091	1,090	1,089
2,5	1,148	1,143	1,139	1,135	1,131	1,127	1,124	1,120	1,117	1,114	1,111	1,109	1,107	1,104	1,102	1,100	1,098	1,096	1,094	1,093	1,092
3	1,141	1,138	1,135	1,131	1,128	1,126	1,123	1,120	1,117	1,115	1,113	1,111	1,109	1,107	1,105	1,103	1,102	1,100	1,099	1,098	1,096
3,5	1,137	1,134	1,132	1,130	1,127	1,125	1,122	1,120	1,118	1,116	1,114	1,112	1,111	1,109	1,108	1,106	1,105	1,103	1,102	1,101	1,100
4	1,135	1,133	1,130	1,128	1,126	1,124	1,122	1,121	1,119	1,117	1,115	1,114	1,112	1,111	1,110	1,108	1,107	1,105	1,105	1,104	1,103
5	1,132	1,130	1,129	1,127	1,126	1,124	1,122	1,121	1,119	1,118	1,117	1,116	1,115	1,114	1,112	1,111	1,110	1,109	1,108	1,108	1,107
7	1,129	1,128	1,127	1,126	1,125	1,124	1,123	1,122	1,121	1,120	1,120	1,119	1,118	1,117	1,116	1,115	1,114	1,114	1,113	1,112	1,112
10	1,128	1,127	1,127	1,126	1,125	1,125	1,124	1,123	1,123	1,122	1,121	1,121	1,120	1,119	1,119	1,118	1,118	1,117	1,117	1,116	1,116
∞	1,127	1,127	1,127	1,127	1,127	1,127	1,127	1,127	1,127	1,127	1,127	1,127	1,127	1,127	1,127	1,127	1,127	1,127	1,127	1,127	1,127

• Calcul du moment critique de déversement M_{cr} ...

- Coefficients C_1 et C_2 ...

C_1																						
	-1	-0,9	-0,8	-0,7	-0,6	-0,5	-0,4	-0,3	-0,2	-0,1	0	0,1	0,2	0,3	0,4	0,5	0,6	0,7	0,8	0,9	1	
$\mu = \rho L^2 / 8M > 0$	0	2,554	2,627	2,606	2,534	2,438	2,331	2,219	2,104	1,990	1,878	1,770	1,667	1,569	1,477	1,391	1,312	1,238	1,171	1,109	1,052	1,000
	0,1	2,450	2,411	2,337	2,246	2,148	2,046	1,943	1,842	1,744	1,648	1,558	1,472	1,391	1,315	1,245	1,179	1,119	1,070	1,037	1,018	1,012
	0,2	2,233	2,160	2,076	1,986	1,894	1,802	1,712	1,625	1,541	1,461	1,385	1,314	1,246	1,187	1,139	1,101	1,071	1,049	1,034	1,025	1,022
	0,3	2,003	1,925	1,843	1,760	1,678	1,598	1,521	1,446	1,375	1,310	1,254	1,206	1,165	1,131	1,102	1,080	1,062	1,048	1,039	1,033	1,030
	0,4	1,790	1,717	1,642	1,569	1,497	1,430	1,370	1,316	1,269	1,227	1,190	1,159	1,131	1,108	1,089	1,073	1,061	1,051	1,044	1,039	1,037
	0,5	1,604	1,539	1,479	1,423	1,373	1,326	1,284	1,247	1,213	1,184	1,157	1,135	1,115	1,098	1,084	1,072	1,063	1,055	1,049	1,046	1,043
	0,6	1,468	1,421	1,377	1,336	1,299	1,265	1,234	1,206	1,181	1,159	1,139	1,122	1,106	1,093	1,082	1,073	1,065	1,059	1,054	1,051	1,049
	0,7	1,382	1,346	1,313	1,282	1,253	1,227	1,203	1,181	1,161	1,144	1,128	1,114	1,102	1,091	1,082	1,074	1,068	1,063	1,059	1,056	1,054
	0,8	1,324	1,296	1,270	1,245	1,222	1,201	1,182	1,164	1,148	1,134	1,121	1,110	1,100	1,090	1,083	1,076	1,071	1,066	1,062	1,060	1,058
	0,9	1,284	1,261	1,239	1,219	1,201	1,183	1,167	1,153	1,140	1,128	1,117	1,107	1,098	1,091	1,084	1,078	1,073	1,069	1,066	1,063	1,061
	1	1,254	1,236	1,217	1,201	1,185	1,170	1,157	1,145	1,133	1,123	1,114	1,105	1,098	1,091	1,085	1,080	1,076	1,072	1,069	1,067	1,065
	1,1	1,233	1,217	1,201	1,187	1,174	1,161	1,150	1,139	1,129	1,120	1,112	1,105	1,098	1,092	1,087	1,082	1,078	1,075	1,072	1,070	1,068
	1,2	1,216	1,202	1,189	1,176	1,165	1,154	1,144	1,135	1,126	1,118	1,111	1,104	1,098	1,093	1,088	1,084	1,081	1,077	1,075	1,072	1,071
	1,3	1,203	1,191	1,179	1,168	1,158	1,148	1,139	1,131	1,124	1,117	1,110	1,104	1,099	1,094	1,090	1,086	1,083	1,079	1,077	1,075	1,073
	1,4	1,193	1,181	1,172	1,162	1,153	1,144	1,136	1,129	1,122	1,116	1,110	1,104	1,099	1,095	1,091	1,087	1,084	1,081	1,079	1,077	1,075
	1,5	1,184	1,175	1,165	1,157	1,148	1,141	1,134	1,127	1,121	1,115	1,110	1,105	1,100	1,096	1,092	1,089	1,086	1,083	1,081	1,079	1,078
	1,6	1,177	1,168	1,160	1,152	1,145	1,138	1,131	1,125	1,120	1,114	1,110	1,105	1,101	1,097	1,094	1,091	1,088	1,085	1,083	1,081	1,080
	1,7	1,171	1,164	1,156	1,149	1,142	1,135	1,130	1,124	1,119	1,114	1,109	1,105	1,102	1,098	1,095	1,092	1,089	1,087	1,085	1,083	1,081
	1,8	1,167	1,159	1,153	1,146	1,140	1,134	1,128	1,123	1,118	1,114	1,109	1,106	1,102	1,099	1,096	1,093	1,090	1,088	1,086	1,084	1,083
	2	1,159	1,153	1,147	1,141	1,136	1,131	1,126	1,122	1,118	1,114	1,110	1,107	1,103	1,101	1,098	1,095	1,093	1,091	1,089	1,087	1,086
	2,2	1,153	1,148	1,143	1,138	1,133	1,129	1,125	1,121	1,117	1,114	1,111	1,107	1,105	1,102	1,100	1,097	1,095	1,093	1,091	1,090	1,089
2,5	1,148	1,143	1,139	1,135	1,131	1,127	1,124	1,120	1,117	1,114	1,111	1,109	1,107	1,104	1,102	1,100	1,098	1,096	1,094	1,093	1,092	
3	1,141	1,138	1,135	1,131	1,128	1,126	1,123	1,120	1,117	1,115	1,113	1,111	1,109	1,107	1,105	1,103	1,102	1,100	1,099	1,098	1,096	
3,5	1,137	1,134	1,132	1,130	1,127	1,125	1,122	1,120	1,118	1,116	1,114	1,112	1,111	1,109	1,108	1,106	1,105	1,103	1,102	1,101	1,100	
4	1,135	1,133	1,130	1,128	1,126	1,124	1,122	1,121	1,119	1,117	1,115	1,114	1,112	1,111	1,110	1,108	1,107	1,105	1,105	1,104	1,103	
5	1,132	1,130	1,129	1,127	1,126	1,124	1,122	1,121	1,119	1,118	1,117	1,116	1,115	1,114	1,112	1,111	1,110	1,109	1,108	1,108	1,107	
7	1,129	1,128	1,127	1,126	1,125	1,124	1,123	1,122	1,121	1,120	1,120	1,119	1,118	1,117	1,116	1,115	1,114	1,114	1,113	1,112	1,112	
10	1,128	1,127	1,127	1,126	1,125	1,125	1,124	1,123	1,123	1,122	1,121	1,121	1,120	1,119	1,119	1,118	1,118	1,117	1,117	1,116	1,116	
∞	1,127	1,127	1,127	1,127	1,127	1,127	1,127	1,127	1,127	1,127	1,127	1,127	1,127	1,127	1,127	1,127	1,127	1,127	1,127	1,127	1,127	

Calcul du moment critique de déversement M_{cr} ...

- Coefficients C_1 et C_2 ...

C_1																						
	-1	-0,9	-0,8	-0,7	-0,6	-0,5	-0,4	-0,3	-0,2	-0,1	0	0,1	0,2	0,3	0,4	0,5	0,6	0,7	0,8	0,9	1	
$\mu = \rho L^2 / 8M < 0$	0	2,554	2,627	2,606	2,534	2,438	2,331	2,219	2,104	1,990	1,878	1,770	1,667	1,569	1,477	1,391	1,312	1,238	1,171	1,109	1,052	1,000
	-0,1	2,450	2,672	2,805	2,815	2,751	2,653	2,538	2,415	2,288	2,160	2,033	1,909	1,791	1,678	1,573	1,475	1,385	1,302	1,227	1,158	1,095
	-0,2	2,233	2,490	2,763	2,972	3,034	2,987	2,890	2,770	2,637	2,497	2,354	2,210	2,069	1,932	1,802	1,680	1,567	1,464	1,371	1,286	1,209
	-0,3	2,003	2,231	2,505	2,817	3,108	3,249	3,236	3,149	3,027	2,886	2,735	2,576	2,414	2,252	2,094	1,942	1,800	1,670	1,551	1,444	1,348
	-0,4	1,790	1,980	2,210	2,491	2,828	3,190	3,440	3,489	3,423	3,306	3,162	3,001	2,829	2,648	2,463	2,279	2,101	1,934	1,781	1,644	1,522
	-0,5	1,604	1,759	1,944	2,171	2,450	2,795	3,201	3,570	3,726	3,703	3,601	3,461	3,296	3,113	2,915	2,705	2,490	2,279	2,081	1,902	1,742
	-0,6	1,468	1,570	1,719	1,897	2,115	2,385	2,722	3,140	3,598	3,908	3,971	3,902	3,775	3,614	3,426	3,214	2,979	2,728	2,477	2,240	2,027
	-0,7	1,382	1,410	1,530	1,671	1,840	2,046	2,300	2,618	3,020	3,507	3,972	4,191	4,192	4,094	3,945	3,760	3,540	3,281	2,989	2,685	2,400
	-0,8	1,324	1,316	1,372	1,486	1,618	1,776	1,967	2,201	2,493	2,862	3,326	3,863	4,290	4,433	4,397	4,276	4,104	3,882	3,600	3,253	2,884
	-0,9	1,284	1,278	1,271	1,332	1,438	1,562	1,708	1,882	2,095	2,357	2,685	3,101	3,617	4,175	4,550	4,646	4,584	4,438	4,219	3,898	3,471
	-1	1,254	1,250	1,245	1,242	1,291	1,389	1,503	1,637	1,796	1,986	2,218	2,505	2,865	3,317	3,865	4,419	4,754	4,820	4,724	4,498	4,089
	-1,1	1,233	1,229	1,226	1,223	1,222	1,248	1,339	1,444	1,566	1,709	1,879	2,083	2,331	2,638	3,019	3,491	4,045	4,574	4,869	4,871	4,590
	-1,2	1,216	1,213	1,211	1,209	1,208	1,208	1,208	1,290	1,386	1,496	1,625	1,775	1,954	2,168	2,428	2,746	3,136	3,607	4,133	4,583	4,712
	-1,3	1,203	1,201	1,199	1,198	1,197	1,197	1,198	1,200	1,241	1,329	1,429	1,544	1,678	1,834	2,019	2,239	2,504	2,823	3,207	3,648	4,084
	-1,4	1,193	1,191	1,190	1,189	1,189	1,189	1,190	1,192	1,195	1,199	1,274	1,364	1,467	1,586	1,723	1,883	2,070	2,292	2,555	2,865	3,221
	-1,5	1,184	1,183	1,182	1,182	1,182	1,183	1,184	1,185	1,188	1,191	1,196	1,221	1,303	1,396	1,501	1,621	1,760	1,920	2,107	2,325	2,578
	-1,6	1,177	1,176	1,176	1,176	1,176	1,177	1,178	1,180	1,183	1,186	1,190	1,194	1,200	1,245	1,328	1,422	1,528	1,649	1,788	1,946	2,128
	-1,7	1,171	1,171	1,171	1,171	1,171	1,172	1,174	1,176	1,178	1,181	1,185	1,189	1,194	1,199	1,207	1,266	1,350	1,444	1,550	1,670	1,805
	-1,8	1,167	1,166	1,166	1,167	1,167	1,168	1,170	1,171	1,174	1,177	1,180	1,184	1,189	1,194	1,200	1,207	1,214	1,283	1,366	1,460	1,564
	-2	1,159	1,159	1,159	1,160	1,161	1,162	1,163	1,165	1,167	1,170	1,173	1,176	1,180	1,185	1,190	1,195	1,201	1,208	1,215	1,223	1,232
	-2,2	1,153	1,154	1,154	1,155	1,156	1,157	1,159	1,160	1,162	1,165	1,167	1,170	1,174	1,178	1,182	1,186	1,192	1,197	1,203	1,209	1,217
	-2,5	1,148	1,148	1,148	1,149	1,151	1,152	1,153	1,155	1,157	1,159	1,161	1,164	1,167	1,170	1,173	1,177	1,181	1,185	1,189	1,195	1,201
	-3	1,141	1,142	1,143	1,143	1,144	1,146	1,147	1,148	1,150	1,152	1,154	1,156	1,158	1,160	1,163	1,166	1,169	1,172	1,175	1,179	1,183
	-3,5	1,137	1,138	1,139	1,140	1,141	1,142	1,143	1,144	1,146	1,147	1,149	1,151	1,152	1,155	1,157	1,159	1,161	1,164	1,167	1,170	1,173
	-4	1,135	1,136	1,136	1,137	1,138	1,139	1,140	1,142	1,143	1,144	1,145	1,147	1,149	1,151	1,152	1,154	1,156	1,158	1,160	1,163	1,165
	-5	1,132	1,133	1,133	1,134	1,135	1,136	1,137	1,138	1,139	1,140	1,141	1,142	1,144	1,145	1,146	1,148	1,149	1,151	1,152	1,154	1,156
	-7	1,129	1,130	1,130	1,131	1,132	1,133	1,133	1,134	1,135	1,136	1,137	1,137	1,138	1,139	1,140	1,141	1,142	1,143	1,144	1,145	1,146
-10	1,128	1,129	1,129	1,130	1,130	1,131	1,131	1,132	1,132	1,133	1,133	1,134	1,134	1,135	1,136	1,136	1,137	1,138	1,139	1,139	1,140	
∞	1,127	1,127	1,127	1,127	1,127	1,127	1,127	1,127	1,127	1,127	1,127	1,127	1,127	1,127	1,127	1,127	1,127	1,127	1,127	1,127	1,127	

• Calcul du moment critique de déversement M_{cr} ...

- Coefficients C_1 et C_2 ...

C_1																						
	-1	-0,9	-0,8	-0,7	-0,6	-0,5	-0,4	-0,3	-0,2	-0,1	0	0,1	0,2	0,3	0,4	0,5	0,6	0,7	0,8	0,9	1	
$\mu = FL/4M > 0$	0	2,554	2,627	2,606	2,534	2,438	2,331	2,219	2,104	1,990	1,878	1,770	1,667	1,569	1,477	1,391	1,312	1,238	1,171	1,109	1,052	1,000
	0,1	2,494	2,475	2,408	2,317	2,216	2,109	2,002	1,896	1,792	1,693	1,597	1,507	1,423	1,344	1,271	1,203	1,140	1,082	1,029	1,028	1,027
	0,2	2,348	2,285	2,200	2,105	2,006	1,906	1,807	1,711	1,619	1,532	1,449	1,371	1,298	1,231	1,168	1,109	1,055	1,055	1,055	1,053	1,051
	0,3	2,168	2,089	2,000	1,908	1,815	1,724	1,636	1,551	1,470	1,394	1,322	1,255	1,192	1,134	1,079	1,080	1,080	1,078	1,077	1,074	1,072
	0,4	1,983	1,901	1,816	1,730	1,646	1,564	1,486	1,412	1,342	1,276	1,213	1,155	1,101	1,102	1,103	1,102	1,101	1,098	1,096	1,093	1,090
	0,5	1,809	1,730	1,651	1,573	1,498	1,426	1,358	1,293	1,231	1,174	1,120	1,122	1,124	1,124	1,123	1,121	1,118	1,116	1,112	1,109	1,105
	0,6	1,650	1,577	1,505	1,436	1,370	1,306	1,246	1,189	1,136	1,140	1,142	1,143	1,143	1,141	1,140	1,137	1,134	1,131	1,127	1,123	1,119
	0,7	1,508	1,442	1,378	1,317	1,258	1,203	1,150	1,155	1,158	1,160	1,161	1,160	1,159	1,157	1,154	1,151	1,148	1,144	1,140	1,136	1,132
	0,8	1,383	1,324	1,267	1,213	1,161	1,168	1,173	1,175	1,177	1,177	1,177	1,175	1,173	1,170	1,167	1,163	1,160	1,156	1,152	1,147	1,143
	0,9	1,273	1,221	1,170	1,179	1,185	1,189	1,191	1,192	1,192	1,192	1,190	1,188	1,185	1,182	1,178	1,174	1,170	1,166	1,162	1,158	1,153
	1	1,177	1,187	1,194	1,200	1,203	1,206	1,207	1,206	1,205	1,204	1,201	1,199	1,195	1,192	1,188	1,184	1,180	1,176	1,171	1,167	1,163
	1,1	1,202	1,209	1,214	1,217	1,219	1,220	1,219	1,218	1,217	1,214	1,211	1,208	1,205	1,201	1,197	1,193	1,188	1,184	1,180	1,175	1,171
	1,2	1,222	1,227	1,230	1,231	1,232	1,231	1,230	1,229	1,226	1,223	1,220	1,217	1,213	1,209	1,205	1,201	1,196	1,192	1,187	1,183	1,179
	1,3	1,238	1,241	1,243	1,243	1,243	1,241	1,240	1,237	1,235	1,231	1,228	1,224	1,220	1,216	1,212	1,208	1,203	1,199	1,194	1,190	1,186
	1,4	1,252	1,253	1,254	1,253	1,252	1,250	1,248	1,245	1,242	1,238	1,235	1,231	1,227	1,223	1,218	1,214	1,210	1,205	1,201	1,196	1,192
	1,5	1,263	1,263	1,263	1,262	1,260	1,258	1,255	1,252	1,248	1,245	1,241	1,237	1,233	1,229	1,224	1,220	1,216	1,211	1,207	1,202	1,198
	1,6	1,273	1,272	1,271	1,269	1,267	1,264	1,261	1,258	1,254	1,250	1,246	1,242	1,238	1,234	1,230	1,225	1,221	1,217	1,212	1,208	1,204
	1,7	1,280	1,279	1,277	1,275	1,273	1,270	1,266	1,263	1,259	1,255	1,251	1,247	1,243	1,239	1,235	1,230	1,226	1,222	1,217	1,213	1,209
	1,8	1,287	1,286	1,283	1,281	1,278	1,275	1,271	1,268	1,264	1,260	1,256	1,252	1,248	1,243	1,239	1,235	1,231	1,226	1,222	1,218	1,214
	2	1,298	1,296	1,293	1,290	1,287	1,283	1,279	1,276	1,272	1,268	1,264	1,260	1,256	1,251	1,247	1,243	1,239	1,235	1,231	1,226	1,222
2,2	1,306	1,303	1,300	1,297	1,294	1,290	1,286	1,282	1,278	1,274	1,270	1,266	1,262	1,258	1,254	1,250	1,246	1,242	1,238	1,234	1,230	
2,5	1,315	1,312	1,309	1,305	1,302	1,298	1,294	1,290	1,287	1,283	1,279	1,275	1,271	1,267	1,263	1,259	1,255	1,251	1,247	1,244	1,240	
3	1,325	1,322	1,318	1,315	1,311	1,307	1,304	1,300	1,296	1,293	1,289	1,285	1,282	1,278	1,274	1,271	1,267	1,264	1,260	1,257	1,253	
3,5	1,331	1,328	1,324	1,321	1,317	1,314	1,311	1,307	1,304	1,300	1,297	1,293	1,290	1,287	1,283	1,280	1,277	1,273	1,270	1,267	1,263	
4	1,335	1,332	1,328	1,325	1,322	1,319	1,316	1,312	1,309	1,306	1,303	1,300	1,296	1,293	1,290	1,287	1,284	1,281	1,278	1,275	1,272	
5	1,339	1,337	1,334	1,331	1,328	1,325	1,322	1,320	1,317	1,314	1,311	1,308	1,306	1,303	1,300	1,298	1,295	1,292	1,290	1,287	1,284	
7	1,343	1,341	1,339	1,337	1,334	1,332	1,330	1,328	1,326	1,323	1,321	1,319	1,317	1,315	1,313	1,311	1,308	1,306	1,304	1,302	1,300	
10	1,346	1,344	1,342	1,341	1,339	1,337	1,336	1,334	1,332	1,331	1,329	1,327	1,326	1,324	1,322	1,321	1,319	1,318	1,316	1,315	1,313	
∞	1,348	1,348	1,348	1,348	1,348	1,348	1,348	1,348	1,348	1,348	1,348	1,348	1,348	1,348	1,348	1,348	1,348	1,348	1,348	1,348	1,348	

• Calcul du moment critique de déversement M_{cr} ...

- Coefficients C_1 et C_2 ...

C_1																						
	-1	-0,9	-0,8	-0,7	-0,6	-0,5	-0,4	-0,3	-0,2	-0,1	0	0,1	0,2	0,3	0,4	0,5	0,6	0,7	0,8	0,9	1	
$\mu = FL/4M < 0$	0	2,554	2,627	2,606	2,534	2,438	2,331	2,219	2,104	1,990	1,878	1,770	1,667	1,569	1,477	1,391	1,312	1,238	1,171	1,109	1,052	1,000
	-0,1	2,494	2,682	2,760	2,737	2,663	2,563	2,451	2,333	2,212	2,090	1,970	1,852	1,740	1,633	1,533	1,439	1,353	1,274	1,202	1,136	1,075
	-0,2	2,348	2,597	2,804	2,889	2,868	2,792	2,690	2,575	2,451	2,324	2,195	2,066	1,939	1,817	1,700	1,590	1,489	1,395	1,310	1,232	1,161
	-0,3	2,168	2,417	2,689	2,916	3,012	2,994	2,919	2,817	2,700	2,573	2,440	2,304	2,166	2,029	1,896	1,769	1,649	1,538	1,437	1,344	1,261
	-0,4	1,983	2,207	2,472	2,763	3,012	3,124	3,114	3,044	2,943	2,826	2,697	2,560	2,417	2,270	2,123	1,978	1,838	1,707	1,586	1,476	1,377
	-0,5	1,809	2,000	2,231	2,505	2,811	3,083	3,219	3,225	3,163	3,067	2,950	2,821	2,681	2,532	2,377	2,218	2,059	1,906	1,762	1,631	1,512
	-0,6	1,650	1,811	2,004	2,236	2,514	2,828	3,122	3,291	3,322	3,274	3,185	3,072	2,943	2,801	2,647	2,483	2,311	2,138	1,970	1,813	1,671
	-0,7	1,508	1,643	1,802	1,992	2,222	2,496	2,811	3,122	3,332	3,399	3,372	3,295	3,189	3,062	2,919	2,760	2,586	2,400	2,210	2,025	1,855
	-0,8	1,383	1,496	1,627	1,783	1,968	2,189	2,453	2,760	3,080	3,332	3,449	3,453	3,394	3,297	3,175	3,032	2,868	2,681	2,477	2,267	2,066
	-0,9	1,273	1,368	1,478	1,605	1,754	1,931	2,141	2,390	2,681	2,998	3,283	3,458	3,508	3,475	3,393	3,278	3,135	2,963	2,760	2,533	2,302
	-1	1,177	1,258	1,349	1,454	1,576	1,718	1,884	2,080	2,312	2,583	2,885	3,185	3,414	3,523	3,529	3,469	3,363	3,220	3,035	2,807	2,554
	-1,1	1,202	1,220	1,239	1,327	1,427	1,542	1,675	1,831	2,012	2,225	2,472	2,753	3,048	3,313	3,485	3,544	3,515	3,422	3,273	3,066	2,806
	-1,2	1,222	1,239	1,258	1,279	1,301	1,396	1,505	1,629	1,773	1,940	2,133	2,357	2,612	2,889	3,163	3,382	3,500	3,512	3,434	3,273	3,031
	-1,3	1,238	1,255	1,273	1,293	1,314	1,338	1,363	1,465	1,581	1,713	1,865	2,040	2,242	2,470	2,722	2,984	3,222	3,386	3,439	3,374	3,193
	-1,4	1,252	1,268	1,285	1,304	1,324	1,346	1,369	1,395	1,424	1,531	1,652	1,791	1,949	2,129	2,333	2,559	2,798	3,029	3,210	3,291	3,233
	-1,5	1,263	1,278	1,295	1,312	1,331	1,351	1,374	1,397	1,423	1,451	1,481	1,592	1,718	1,861	2,022	2,203	2,403	2,616	2,827	3,003	3,090
	-1,6	1,273	1,287	1,302	1,319	1,337	1,356	1,376	1,398	1,422	1,447	1,474	1,503	1,534	1,648	1,777	1,921	2,082	2,258	2,446	2,633	2,792
	-1,7	1,280	1,294	1,309	1,325	1,341	1,359	1,378	1,398	1,420	1,443	1,468	1,494	1,522	1,551	1,581	1,698	1,827	1,969	2,125	2,289	2,453
	-1,8	1,287	1,300	1,314	1,329	1,345	1,361	1,379	1,398	1,418	1,439	1,461	1,485	1,511	1,537	1,565	1,594	1,623	1,739	1,866	2,003	2,147
	-2	1,298	1,310	1,323	1,336	1,350	1,364	1,380	1,396	1,413	1,431	1,451	1,471	1,492	1,514	1,537	1,561	1,585	1,611	1,636	1,660	1,683
	-2,2	1,306	1,317	1,329	1,341	1,353	1,366	1,380	1,394	1,409	1,425	1,441	1,458	1,476	1,495	1,515	1,535	1,556	1,577	1,599	1,621	1,642
-2,5	1,315	1,325	1,335	1,345	1,356	1,367	1,379	1,391	1,403	1,416	1,430	1,444	1,458	1,473	1,489	1,505	1,522	1,539	1,556	1,574	1,592	
-3	1,325	1,333	1,341	1,349	1,358	1,367	1,376	1,386	1,395	1,405	1,416	1,426	1,437	1,448	1,460	1,472	1,484	1,497	1,509	1,522	1,535	
-3,5	1,331	1,338	1,344	1,351	1,359	1,366	1,373	1,381	1,389	1,397	1,406	1,414	1,423	1,432	1,441	1,450	1,460	1,469	1,479	1,489	1,499	
-4	1,335	1,341	1,346	1,352	1,359	1,365	1,371	1,378	1,384	1,391	1,398	1,405	1,412	1,420	1,427	1,435	1,442	1,450	1,458	1,466	1,475	
-5	1,339	1,344	1,348	1,353	1,358	1,363	1,367	1,372	1,377	1,382	1,388	1,393	1,398	1,404	1,409	1,414	1,420	1,426	1,432	1,437	1,443	
-7	1,343	1,347	1,350	1,353	1,356	1,359	1,363	1,366	1,369	1,372	1,376	1,379	1,383	1,386	1,390	1,393	1,397	1,401	1,404	1,408	1,411	
-10	1,346	1,348	1,350	1,352	1,354	1,356	1,358	1,361	1,363	1,365	1,367	1,369	1,372	1,374	1,376	1,379	1,381	1,383	1,386	1,388	1,390	
∞	1,348	1,348	1,348	1,348	1,348	1,348	1,348	1,348	1,348	1,348	1,348	1,348	1,348	1,348	1,348	1,348	1,348	1,348	1,348	1,348	1,348	

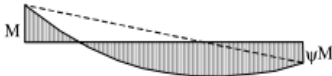
Calcul du moment critique de déversement M_{cr} ...

- Coefficients C_1 et C_2 ...

C_2	 																				
	-1	-0,9	-0,8	-0,7	-0,6	-0,5	-0,4	-0,3	-0,2	-0,1	0	0,1	0,2	0,3	0,4	0,5	0,6	0,7	0,8	0,9	1
0	0,000	0,000	0,000	0,000	0,000	0,000	0,000	0,000	0,000	0,000	0,000	0,000	0,000	0,000	0,000	0,000	0,000	0,000	0,000	0,000	0,000
0,1	0,081	0,076	0,072	0,070	0,068	0,066	0,065	0,063	0,062	0,060	0,058	0,056	0,054	0,052	0,049	0,047	0,045	0,043	0,041	0,039	0,037
0,2	0,142	0,136	0,131	0,128	0,125	0,122	0,119	0,116	0,112	0,109	0,105	0,101	0,097	0,093	0,090	0,086	0,082	0,079	0,075	0,072	0,069
0,3	0,192	0,186	0,181	0,176	0,172	0,167	0,163	0,158	0,154	0,149	0,144	0,138	0,133	0,128	0,123	0,118	0,113	0,109	0,104	0,100	0,096
0,4	0,234	0,227	0,222	0,216	0,211	0,205	0,199	0,193	0,187	0,181	0,175	0,169	0,163	0,157	0,151	0,145	0,140	0,134	0,129	0,125	0,120
0,5	0,269	0,262	0,255	0,249	0,242	0,236	0,229	0,222	0,215	0,208	0,201	0,194	0,187	0,181	0,174	0,168	0,162	0,157	0,151	0,146	0,141
0,6	0,298	0,290	0,283	0,276	0,268	0,261	0,253	0,245	0,238	0,230	0,223	0,216	0,208	0,201	0,195	0,188	0,182	0,176	0,170	0,165	0,159
0,7	0,322	0,313	0,305	0,297	0,289	0,281	0,273	0,265	0,257	0,249	0,241	0,234	0,226	0,219	0,212	0,205	0,199	0,193	0,187	0,181	0,175
0,8	0,341	0,332	0,324	0,315	0,307	0,298	0,290	0,282	0,273	0,265	0,257	0,250	0,242	0,235	0,228	0,221	0,214	0,208	0,202	0,196	0,190
0,9	0,357	0,348	0,339	0,330	0,321	0,313	0,304	0,296	0,287	0,279	0,271	0,263	0,256	0,248	0,241	0,234	0,227	0,221	0,215	0,209	0,203
1	0,370	0,361	0,352	0,342	0,334	0,325	0,316	0,308	0,299	0,291	0,283	0,275	0,268	0,260	0,253	0,246	0,240	0,233	0,227	0,221	0,215
1,1	0,380	0,371	0,362	0,353	0,344	0,335	0,327	0,318	0,310	0,302	0,294	0,286	0,278	0,271	0,264	0,257	0,250	0,244	0,238	0,232	0,226
1,2	0,389	0,380	0,371	0,362	0,353	0,344	0,336	0,327	0,319	0,311	0,303	0,295	0,288	0,281	0,274	0,267	0,260	0,254	0,248	0,241	0,236
1,3	0,397	0,387	0,378	0,369	0,360	0,352	0,343	0,335	0,327	0,319	0,311	0,304	0,296	0,289	0,282	0,275	0,269	0,263	0,256	0,251	0,245
1,4	0,403	0,394	0,385	0,376	0,367	0,359	0,350	0,342	0,334	0,326	0,318	0,311	0,304	0,297	0,290	0,284	0,277	0,271	0,265	0,259	0,253
1,5	0,408	0,399	0,390	0,381	0,373	0,364	0,356	0,348	0,340	0,333	0,325	0,318	0,311	0,304	0,297	0,291	0,284	0,278	0,272	0,266	0,261
1,6	0,413	0,404	0,395	0,386	0,378	0,370	0,362	0,354	0,346	0,339	0,331	0,324	0,317	0,310	0,304	0,297	0,291	0,285	0,279	0,274	0,268
1,7	0,416	0,408	0,399	0,391	0,383	0,375	0,367	0,359	0,351	0,344	0,337	0,330	0,323	0,316	0,310	0,303	0,297	0,291	0,286	0,280	0,274
1,8	0,420	0,411	0,403	0,394	0,386	0,379	0,371	0,363	0,356	0,349	0,342	0,335	0,328	0,322	0,315	0,309	0,303	0,297	0,291	0,286	0,281
2	0,425	0,417	0,409	0,401	0,393	0,386	0,378	0,371	0,364	0,357	0,351	0,344	0,338	0,331	0,325	0,319	0,313	0,308	0,302	0,297	0,292
2,2	0,429	0,421	0,414	0,406	0,399	0,392	0,385	0,378	0,371	0,365	0,358	0,352	0,346	0,340	0,334	0,328	0,323	0,317	0,312	0,306	0,301
2,5	0,433	0,426	0,419	0,412	0,406	0,399	0,392	0,386	0,380	0,374	0,368	0,362	0,356	0,350	0,345	0,339	0,334	0,329	0,324	0,319	0,314
3	0,438	0,432	0,426	0,420	0,413	0,408	0,402	0,396	0,390	0,385	0,380	0,374	0,369	0,364	0,359	0,354	0,349	0,344	0,340	0,335	0,331
3,5	0,441	0,436	0,430	0,425	0,419	0,414	0,409	0,404	0,398	0,393	0,389	0,384	0,379	0,374	0,370	0,365	0,361	0,356	0,352	0,348	0,344
4	0,444	0,438	0,433	0,428	0,424	0,419	0,414	0,409	0,405	0,400	0,396	0,391	0,387	0,382	0,378	0,374	0,370	0,366	0,362	0,358	0,354
5	0,446	0,442	0,437	0,433	0,429	0,425	0,421	0,417	0,413	0,409	0,406	0,402	0,398	0,394	0,391	0,387	0,384	0,380	0,377	0,374	0,370
7	0,448	0,445	0,442	0,439	0,435	0,432	0,429	0,426	0,423	0,420	0,418	0,415	0,412	0,409	0,406	0,404	0,401	0,398	0,395	0,393	0,390
10	0,449	0,447	0,445	0,442	0,440	0,438	0,436	0,433	0,431	0,429	0,427	0,425	0,423	0,421	0,419	0,416	0,414	0,412	0,410	0,408	0,406
∞	0,454	0,454	0,454	0,454	0,454	0,454	0,454	0,454	0,454	0,454	0,454	0,454	0,454	0,454	0,454	0,454	0,454	0,454	0,454	0,454	0,454

Calcul du moment critique de déversement M_{cr} ...

- Coefficients C_1 et C_2 ...

C_2	 																					
	-1	-0,9	-0,8	-0,7	-0,6	-0,5	-0,4	-0,3	-0,2	-0,1	0	0,1	0,2	0,3	0,4	0,5	0,6	0,7	0,8	0,9	1	
$\mu = \alpha L^2 / 8M < 0$	0	0,000	0,000	0,000	0,000	0,000	0,000	0,000	0,000	0,000	0,000	0,000	0,000	0,000	0,000	0,000	0,000	0,000	0,000	0,000	0,000	
	-0,1	0,083	0,094	0,096	0,089	0,083	0,080	0,077	0,076	0,074	0,073	0,071	0,069	0,067	0,064	0,061	0,058	0,055	0,052	0,050	0,047	0,044
	-0,2	0,150	0,172	0,197	0,209	0,197	0,181	0,171	0,165	0,161	0,159	0,156	0,153	0,149	0,144	0,138	0,132	0,124	0,118	0,111	0,104	0,098
	-0,3	0,205	0,232	0,265	0,307	0,338	0,328	0,298	0,277	0,266	0,259	0,256	0,253	0,249	0,243	0,235	0,224	0,212	0,200	0,187	0,175	0,164
	-0,4	0,250	0,279	0,315	0,360	0,418	0,477	0,487	0,445	0,406	0,384	0,372	0,367	0,364	0,360	0,353	0,341	0,325	0,306	0,285	0,265	0,246
	-0,5	0,287	0,316	0,352	0,396	0,453	0,526	0,612	0,665	0,629	0,567	0,526	0,505	0,497	0,494	0,491	0,483	0,467	0,442	0,412	0,381	0,350
	-0,6	0,317	0,345	0,380	0,421	0,474	0,540	0,625	0,731	0,834	0,849	0,777	0,708	0,669	0,652	0,648	0,646	0,638	0,616	0,578	0,532	0,485
	-0,7	0,340	0,368	0,400	0,439	0,486	0,544	0,617	0,710	0,829	0,968	1,067	1,035	0,946	0,878	0,844	0,834	0,832	0,823	0,789	0,731	0,661
	-0,8	0,358	0,385	0,415	0,451	0,493	0,544	0,606	0,683	0,780	0,904	1,058	1,223	1,300	1,241	1,151	1,091	1,065	1,058	1,039	0,982	0,888
	-0,9	0,373	0,398	0,427	0,460	0,498	0,542	0,596	0,660	0,738	0,836	0,958	1,113	1,302	1,483	1,544	1,482	1,403	1,355	1,328	1,280	1,169
	-1	0,385	0,409	0,435	0,465	0,500	0,540	0,586	0,640	0,705	0,783	0,878	0,996	1,145	1,330	1,548	1,743	1,807	1,760	1,696	1,628	1,498
	-1,1	0,394	0,417	0,442	0,469	0,501	0,536	0,577	0,624	0,678	0,742	0,819	0,910	1,022	1,160	1,332	1,543	1,785	1,994	2,071	2,025	1,876
	-1,2	0,402	0,423	0,446	0,472	0,500	0,532	0,569	0,609	0,656	0,710	0,773	0,847	0,934	1,039	1,166	1,322	1,513	1,742	1,993	2,190	2,204
	-1,3	0,409	0,428	0,450	0,474	0,500	0,529	0,561	0,597	0,638	0,685	0,737	0,798	0,869	0,951	1,049	1,165	1,305	1,474	1,678	1,911	2,133
	-1,4	0,414	0,433	0,453	0,475	0,499	0,525	0,555	0,587	0,623	0,664	0,709	0,760	0,819	0,886	0,964	1,054	1,161	1,286	1,436	1,613	1,817
	-1,5	0,419	0,436	0,455	0,475	0,498	0,522	0,549	0,578	0,610	0,646	0,685	0,730	0,780	0,836	0,900	0,973	1,056	1,154	1,267	1,400	1,554
	-1,6	0,422	0,439	0,457	0,476	0,497	0,519	0,543	0,570	0,599	0,631	0,666	0,705	0,748	0,796	0,850	0,910	0,978	1,056	1,146	1,248	1,366
	-1,7	0,426	0,441	0,458	0,476	0,495	0,516	0,539	0,563	0,589	0,618	0,650	0,684	0,722	0,763	0,809	0,861	0,918	0,982	1,055	1,137	1,230
	-1,8	0,428	0,443	0,459	0,476	0,494	0,513	0,534	0,557	0,581	0,607	0,635	0,666	0,700	0,737	0,777	0,821	0,870	0,924	0,985	1,052	1,128
	-2	0,433	0,446	0,461	0,476	0,492	0,509	0,527	0,546	0,567	0,589	0,612	0,638	0,665	0,695	0,726	0,761	0,799	0,839	0,884	0,933	0,986
	-2,2	0,436	0,448	0,461	0,475	0,489	0,504	0,520	0,537	0,555	0,574	0,594	0,616	0,639	0,663	0,690	0,718	0,748	0,780	0,815	0,853	0,893
-2,5	0,440	0,451	0,462	0,474	0,486	0,499	0,513	0,527	0,542	0,558	0,574	0,592	0,610	0,629	0,650	0,672	0,695	0,719	0,745	0,772	0,802	
-3	0,444	0,453	0,462	0,472	0,482	0,492	0,503	0,514	0,526	0,538	0,551	0,564	0,578	0,592	0,607	0,623	0,639	0,656	0,674	0,692	0,712	
-3,5	0,447	0,454	0,462	0,470	0,479	0,487	0,496	0,505	0,515	0,525	0,535	0,545	0,556	0,568	0,579	0,591	0,604	0,617	0,630	0,644	0,659	
-4	0,448	0,455	0,462	0,469	0,476	0,483	0,491	0,499	0,507	0,515	0,524	0,532	0,541	0,550	0,560	0,570	0,580	0,591	0,601	0,612	0,624	
-5	0,450	0,455	0,461	0,466	0,472	0,478	0,483	0,490	0,496	0,502	0,508	0,515	0,521	0,528	0,535	0,542	0,550	0,557	0,565	0,572	0,581	
-7	0,452	0,456	0,459	0,463	0,467	0,471	0,475	0,479	0,483	0,487	0,492	0,496	0,500	0,505	0,509	0,514	0,518	0,523	0,528	0,533	0,538	
-10	0,453	0,455	0,458	0,461	0,463	0,466	0,469	0,471	0,474	0,477	0,480	0,482	0,485	0,488	0,491	0,494	0,497	0,500	0,503	0,506	0,509	
∞	0,454	0,454	0,454	0,454	0,454	0,454	0,454	0,454	0,454	0,454	0,454	0,454	0,454	0,454	0,454	0,454	0,454	0,454	0,454	0,454	0,454	

• Calcul du moment critique de déversement M_{cr} ...

- Coefficients C_1 et C_2 ...

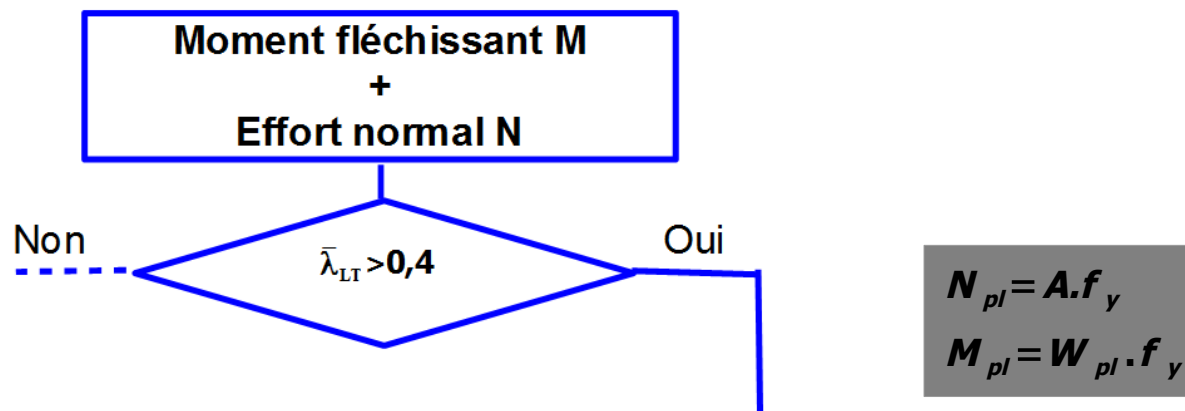
C_2		 																				
		-1	-0,9	-0,8	-0,7	-0,6	-0,5	-0,4	-0,3	-0,2	-0,1	0	0,1	0,2	0,3	0,4	0,5	0,6	0,7	0,8	0,9	1
$\mu = FL/4M > 0$	0	0,000	0,000	0,000	0,000	0,000	0,000	0,000	0,000	0,000	0,000	0,000	0,000	0,000	0,000	0,000	0,000	0,000	0,000	0,000	0,000	
	0,1	0,060	0,057	0,054	0,053	0,053	0,054	0,055	0,055	0,056	0,056	0,055	0,054	0,053	0,051	0,050	0,048	0,046	0,044	0,042	0,040	0,038
	0,2	0,109	0,105	0,103	0,103	0,104	0,105	0,106	0,106	0,106	0,105	0,103	0,101	0,099	0,095	0,092	0,089	0,085	0,081	0,078	0,075	0,071
	0,3	0,153	0,151	0,150	0,151	0,152	0,153	0,153	0,152	0,151	0,149	0,145	0,142	0,138	0,133	0,129	0,124	0,119	0,114	0,110	0,105	0,101
	0,4	0,196	0,195	0,195	0,196	0,196	0,196	0,195	0,193	0,190	0,186	0,182	0,177	0,172	0,166	0,160	0,154	0,149	0,143	0,138	0,132	0,127
	0,5	0,237	0,236	0,236	0,236	0,235	0,234	0,231	0,228	0,223	0,219	0,213	0,207	0,201	0,194	0,188	0,181	0,175	0,168	0,162	0,156	0,151
	0,6	0,275	0,274	0,273	0,272	0,270	0,267	0,263	0,258	0,253	0,247	0,240	0,233	0,226	0,219	0,212	0,205	0,198	0,191	0,184	0,178	0,172
	0,7	0,310	0,308	0,306	0,303	0,300	0,295	0,290	0,284	0,278	0,271	0,264	0,256	0,249	0,241	0,233	0,226	0,218	0,211	0,204	0,198	0,191
	0,8	0,340	0,337	0,334	0,330	0,325	0,320	0,314	0,307	0,300	0,292	0,284	0,276	0,268	0,260	0,252	0,245	0,237	0,229	0,222	0,215	0,208
	0,9	0,367	0,363	0,358	0,353	0,347	0,341	0,334	0,326	0,319	0,311	0,303	0,294	0,286	0,277	0,269	0,261	0,253	0,246	0,238	0,231	0,224
	1	0,390	0,385	0,379	0,373	0,366	0,359	0,351	0,343	0,335	0,327	0,318	0,310	0,301	0,293	0,285	0,276	0,268	0,261	0,253	0,246	0,239
	1,1	0,410	0,404	0,397	0,390	0,383	0,375	0,367	0,359	0,350	0,341	0,333	0,324	0,315	0,307	0,298	0,290	0,282	0,274	0,267	0,259	0,252
	1,2	0,426	0,420	0,413	0,405	0,397	0,389	0,380	0,372	0,363	0,354	0,345	0,337	0,328	0,319	0,311	0,302	0,294	0,287	0,279	0,271	0,264
	1,3	0,441	0,434	0,426	0,418	0,410	0,401	0,392	0,383	0,375	0,366	0,357	0,348	0,339	0,331	0,322	0,314	0,306	0,298	0,290	0,283	0,276
	1,4	0,453	0,446	0,437	0,429	0,420	0,412	0,403	0,394	0,385	0,376	0,367	0,358	0,349	0,341	0,333	0,324	0,316	0,308	0,301	0,293	0,286
	1,5	0,464	0,456	0,448	0,439	0,430	0,421	0,412	0,403	0,394	0,385	0,376	0,368	0,359	0,350	0,342	0,334	0,326	0,318	0,310	0,303	0,296
	1,6	0,473	0,465	0,456	0,448	0,439	0,430	0,421	0,412	0,403	0,394	0,385	0,376	0,368	0,359	0,351	0,343	0,335	0,327	0,320	0,312	0,305
	1,7	0,482	0,473	0,464	0,455	0,446	0,437	0,428	0,419	0,410	0,401	0,393	0,384	0,376	0,367	0,359	0,351	0,343	0,335	0,328	0,321	0,313
	1,8	0,489	0,480	0,471	0,462	0,453	0,444	0,435	0,426	0,417	0,408	0,400	0,391	0,383	0,375	0,366	0,358	0,351	0,343	0,336	0,328	0,321
	2	0,500	0,491	0,482	0,473	0,465	0,456	0,447	0,438	0,429	0,421	0,412	0,404	0,396	0,388	0,380	0,372	0,365	0,357	0,350	0,343	0,336
2,2	0,509	0,500	0,491	0,483	0,474	0,465	0,457	0,448	0,440	0,431	0,423	0,415	0,407	0,399	0,392	0,384	0,377	0,369	0,362	0,355	0,349	
2,5	0,519	0,511	0,502	0,494	0,485	0,477	0,469	0,460	0,452	0,444	0,436	0,429	0,421	0,414	0,407	0,399	0,392	0,385	0,379	0,372	0,365	
3	0,530	0,523	0,514	0,507	0,499	0,491	0,484	0,476	0,469	0,461	0,454	0,447	0,440	0,433	0,426	0,420	0,413	0,407	0,400	0,394	0,388	
3,5	0,538	0,530	0,523	0,515	0,508	0,501	0,494	0,487	0,480	0,474	0,467	0,460	0,454	0,448	0,441	0,435	0,429	0,423	0,417	0,412	0,406	
4	0,542	0,535	0,529	0,522	0,515	0,509	0,502	0,496	0,490	0,483	0,477	0,471	0,465	0,459	0,454	0,448	0,442	0,437	0,431	0,426	0,420	
5	0,548	0,542	0,536	0,531	0,525	0,519	0,514	0,508	0,503	0,497	0,492	0,487	0,482	0,477	0,472	0,467	0,462	0,457	0,452	0,447	0,443	
7	0,553	0,549	0,544	0,540	0,535	0,531	0,527	0,522	0,518	0,514	0,510	0,506	0,502	0,498	0,494	0,490	0,486	0,482	0,478	0,475	0,471	
10	0,556	0,552	0,549	0,546	0,543	0,539	0,536	0,533	0,530	0,527	0,524	0,521	0,518	0,515	0,512	0,509	0,506	0,503	0,500	0,497	0,494	
∞	0,630	0,630	0,630	0,630	0,630	0,630	0,630	0,630	0,630	0,630	0,630	0,630	0,630	0,630	0,630	0,630	0,630	0,630	0,630	0,630	0,630	

Calcul du moment critique de déversement M_{cr} ...

- Coefficients C_1 et C_2 ...

C_2																					
	-1	-0,9	-0,8	-0,7	-0,6	-0,5	-0,4	-0,3	-0,2	-0,1	0	0,1	0,2	0,3	0,4	0,5	0,6	0,7	0,8	0,9	1
0	0,000	0,000	0,000	0,000	0,000	0,000	0,000	0,000	0,000	0,000	0,000	0,000	0,000	0,000	0,000	0,000	0,000	0,000	0,000	0,000	0,000
-0,1	0,067	0,073	0,069	0,063	0,059	0,057	0,057	0,058	0,059	0,061	0,061	0,061	0,061	0,060	0,058	0,056	0,053	0,051	0,048	0,046	0,044
-0,2	0,134	0,154	0,163	0,151	0,135	0,125	0,121	0,120	0,122	0,125	0,128	0,129	0,130	0,128	0,126	0,121	0,116	0,111	0,105	0,099	0,094
-0,3	0,202	0,231	0,263	0,277	0,253	0,222	0,202	0,193	0,191	0,194	0,198	0,203	0,206	0,206	0,204	0,198	0,191	0,181	0,172	0,161	0,152
-0,4	0,267	0,304	0,349	0,396	0,416	0,382	0,332	0,298	0,280	0,275	0,277	0,282	0,289	0,293	0,293	0,288	0,278	0,265	0,250	0,235	0,220
-0,5	0,326	0,368	0,419	0,482	0,548	0,581	0,543	0,475	0,421	0,391	0,378	0,376	0,381	0,388	0,392	0,390	0,381	0,365	0,345	0,322	0,300
-0,6	0,377	0,420	0,474	0,541	0,621	0,707	0,761	0,736	0,658	0,583	0,533	0,508	0,499	0,501	0,506	0,507	0,500	0,483	0,457	0,427	0,396
-0,7	0,419	0,463	0,516	0,582	0,662	0,757	0,862	0,943	0,947	0,875	0,787	0,717	0,674	0,652	0,646	0,645	0,639	0,623	0,592	0,552	0,509
-0,8	0,452	0,496	0,548	0,610	0,684	0,775	0,882	1,002	1,110	1,156	1,113	1,026	0,942	0,880	0,842	0,822	0,808	0,789	0,754	0,703	0,645
-0,9	0,480	0,522	0,571	0,629	0,697	0,779	0,876	0,991	1,122	1,252	1,341	1,346	1,282	1,197	1,121	1,065	1,026	0,993	0,949	0,886	0,808
-1	0,502	0,542	0,588	0,642	0,704	0,777	0,863	0,965	1,084	1,220	1,364	1,490	1,552	1,532	1,463	1,383	1,313	1,252	1,189	1,108	1,005
-1,1	0,520	0,558	0,601	0,651	0,707	0,773	0,849	0,938	1,041	1,161	1,299	1,449	1,598	1,710	1,748	1,716	1,647	1,567	1,481	1,376	1,243
-1,2	0,535	0,571	0,611	0,657	0,709	0,767	0,835	0,913	1,002	1,105	1,224	1,360	1,512	1,670	1,815	1,910	1,930	1,887	1,803	1,683	1,523
-1,3	0,547	0,581	0,619	0,661	0,708	0,762	0,822	0,890	0,968	1,057	1,159	1,276	1,408	1,556	1,716	1,875	2,008	2,079	2,070	1,983	1,824
-1,4	0,557	0,589	0,624	0,664	0,707	0,756	0,810	0,871	0,940	1,017	1,105	1,205	1,318	1,446	1,588	1,744	1,905	2,053	2,155	2,174	2,084
-1,5	0,565	0,596	0,629	0,665	0,706	0,750	0,799	0,854	0,915	0,984	1,060	1,146	1,243	1,352	1,474	1,610	1,759	1,915	2,064	2,177	2,209
-1,6	0,572	0,601	0,632	0,666	0,704	0,745	0,790	0,839	0,894	0,955	1,022	1,098	1,182	1,275	1,380	1,496	1,625	1,765	1,913	2,055	2,167
-1,7	0,578	0,606	0,635	0,667	0,702	0,740	0,781	0,826	0,876	0,930	0,991	1,057	1,131	1,212	1,302	1,402	1,513	1,635	1,766	1,904	2,036
-1,8	0,584	0,609	0,637	0,667	0,700	0,735	0,773	0,815	0,860	0,909	0,963	1,023	1,088	1,159	1,238	1,325	1,421	1,526	1,641	1,764	1,891
-2	0,592	0,615	0,640	0,667	0,696	0,726	0,760	0,795	0,833	0,875	0,920	0,968	1,021	1,078	1,140	1,207	1,281	1,361	1,449	1,543	1,645
-2,2	0,598	0,620	0,642	0,666	0,692	0,719	0,748	0,779	0,812	0,848	0,886	0,926	0,970	1,017	1,068	1,123	1,181	1,245	1,314	1,388	1,467
-2,5	0,605	0,624	0,644	0,665	0,686	0,710	0,734	0,760	0,788	0,817	0,847	0,880	0,915	0,952	0,991	1,033	1,077	1,125	1,176	1,230	1,287
-3	0,612	0,628	0,644	0,661	0,679	0,698	0,717	0,737	0,759	0,781	0,804	0,828	0,854	0,881	0,909	0,938	0,969	1,002	1,036	1,073	1,111
-3,5	0,617	0,630	0,644	0,658	0,673	0,689	0,705	0,721	0,739	0,756	0,775	0,794	0,814	0,835	0,857	0,880	0,903	0,928	0,953	0,980	1,008
-4	0,620	0,632	0,644	0,656	0,669	0,682	0,695	0,709	0,724	0,739	0,754	0,770	0,787	0,804	0,821	0,839	0,858	0,878	0,898	0,919	0,941
-5	0,624	0,633	0,642	0,652	0,662	0,672	0,682	0,693	0,704	0,715	0,727	0,738	0,750	0,763	0,775	0,788	0,802	0,815	0,830	0,844	0,859
-7	0,627	0,633	0,640	0,647	0,653	0,660	0,667	0,675	0,682	0,689	0,697	0,705	0,712	0,720	0,728	0,737	0,745	0,754	0,762	0,771	0,780
-10	0,628	0,633	0,637	0,642	0,647	0,651	0,656	0,661	0,666	0,671	0,676	0,681	0,686	0,691	0,696	0,701	0,707	0,712	0,718	0,723	0,729
∞	0,630	0,630	0,630	0,630	0,630	0,630	0,630	0,630	0,630	0,630	0,630	0,630	0,630	0,630	0,630	0,630	0,630	0,630	0,630	0,630	0,630

• Vérification au déversement à l'EC3 : Compression + Flexion



• Calcul de k_{LT}

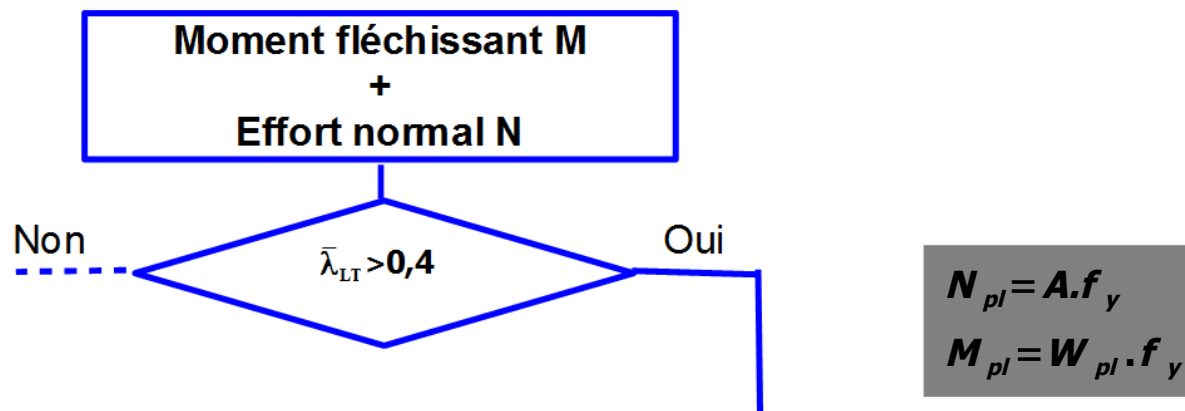
- $$k_{LT} = 1 - \frac{\mu_{LT} \cdot N_{Ed}}{\chi_z \cdot A \cdot f_y}$$
- $$k_{LT} \leq 1,0$$

- $$\mu_{LT} = 0,15 \cdot \bar{\lambda}_z \cdot \beta_{MLT} - 0,15$$
- $$\mu_{LT} \leq 0,9$$

- β_{MLT} : Calcul identique à celui du facteur de moment uniforme équivalent pour le flambement par flexion β_{My}

Classe 1, 2	$\frac{N_{Ed}}{\chi_z \cdot A \cdot f_y} + \frac{k_{LT} \cdot M_y}{\chi_{LT} \cdot W_{pl,y} \cdot f_y} + \frac{k_z \cdot M_z}{W_{pl,z} \cdot f_y} \leq 1$
Classe 3	$\frac{N_{Ed}}{\chi_z \cdot A \cdot f_y} + \frac{k_{LT} \cdot M_y}{\chi_{LT} \cdot W_{el,y} \cdot f_y} + \frac{k_z \cdot M_z}{W_{el,z} \cdot f_y} \leq 1$
Classe 4	$\frac{N_{Ed}}{\chi_z \cdot A_{eff} \cdot f_y} + \frac{k_{LT} \cdot (M_y + N_{eNy})}{\chi_{LT} \cdot W_{eff,y} \cdot f_y} + \frac{k_z \cdot (M_z + N_{eNz})}{W_{eff,z} \cdot f_y} \leq 1$

• Vérification au déversement à l'EC3 : Compression+ Flexion



• Calcul de k_z

- Calcul identique au k_z du flambement

$$k_z = 1 - \frac{\mu_z \cdot N_{Ed}}{\chi_z \cdot A \cdot f_y} \quad k_z \leq 1,5$$

$$\mu_z = \bar{\lambda}_z \cdot (2 \cdot \beta_{Mz} - 4) + \left(\frac{W_{ply,z} - W_{ely,z}}{W_{ely,z}} \right) \quad \mu_z \leq 0,9$$

- β_{Mz} : Calcul identique à celui du facteur de moment uniforme équivalent pour le flambement par flexion β_{Mz}

Classe 1, 2	$\frac{N_{Ed}}{\chi_z \cdot A \cdot f_y} + \frac{k_{LT} \cdot M_y}{\chi_{LT} \cdot W_{pl,y} \cdot f_y} + \frac{k_z \cdot M_z}{W_{pl,z} \cdot f_y} \leq 1$
Classe 3	$\frac{N_{Ed}}{\chi_z \cdot A \cdot f_y} + \frac{k_{LT} \cdot M_y}{\chi_{LT} \cdot W_{el,y} \cdot f_y} + \frac{k_z \cdot M_z}{W_{el,z} \cdot f_y} \leq 1$
Classe 4	$\frac{N_{Ed}}{\chi_z \cdot A_{eff} \cdot f_y} + \frac{k_{LT} \cdot (M_y + N_{eNy})}{\chi_{LT} \cdot W_{eff,y} \cdot f_y} + \frac{k_z \cdot (M_z + N_{eNz})}{W_{eff,z} \cdot f_y} \leq 1$

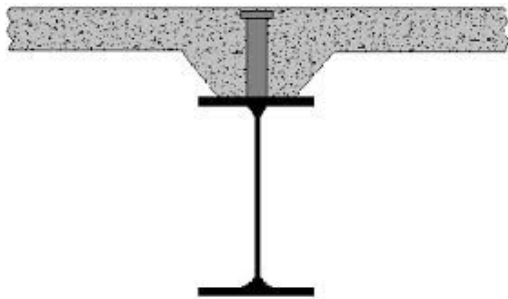
- Prévenir le déversement

- Bracon anti-déversement :



- **Prévenir le déversement ...**

- Liaison de la semelle comprimée avec d'autres éléments à l'aide de connecteurs:



CONTACT

Philippe MARON

ISABTP - UPPA

philippe.maron @univ-pau.fr

www.univ-pau.fr/~maron/const_metal/



ISA BTP

ÉCOLE D'INGÉNIEURS

